

## О НЕПАРАМЕТРИЧЕСКИХ РЕКУРРЕНТНЫХ АЛГОРИТМАХ КРИВОЙ РЕГРЕССИИ ПО НАБЛЮДЕНИЯМ

Ликсонова Д. И.,

научный руководитель профессор Медведев А.В.

*Сибирский государственный аэрокосмический университет имени академика М. Ф. Решетнева*

*Исследуется непараметрическая рекуррентная оценка функции регрессии по наблюдениям с ошибками и непараметрическое управление безынерционными системами. Приведены результаты моделирования рекуррентных оценок при различных значениях аргумента кривой регрессии и результаты моделирования управления при изменении величины поискового шага.*

**Об исследовании непараметрической рекуррентной оценки функции регрессии.** Пусть дана двумерная случайная величина  $(x, y)$  с неизвестными плотностями распределения  $p(x, y)$ ,  $p(x) > 0$  для любых  $x \in R^1$ , и выборка статистически независимых наблюдений  $(x_i, y_i, i = \overline{1, s})$ .

Известно [1], что непараметрическая оценка функции регрессии имеет следующий вид:

$$y_s(x) = \frac{\sum_{i=1}^s y_i \Phi\left(\frac{x-x_i}{c_s}\right)}{\sum_{i=1}^s \Phi\left(\frac{x-x_i}{c_s}\right)}, \quad (1)$$

где колоколообразные функции  $\Phi\left(\frac{x-x_i}{c_s}\right)$  и параметр размытости  $\tilde{n}_s$

удовлетворяют некоторым условиям сходимости. В качестве непараметрической оценки функции регрессии может быть также использована следующая статистика:

$$\tilde{y}_s(x) = \frac{\sum_{i=1}^s c_i^{-1} y_i \hat{O}\left(\frac{x-x_i}{c_i}\right)}{\sum_{i=1}^s c_i^{-1} \hat{O}\left(\frac{x-x_i}{c_i}\right)}. \quad (2)$$

Из (2) может быть получена рекуррентная оценка функции регрессии [2]. Для этого в (2) прибавим и вычтем  $\tilde{y}_{s-1}(x)$ , и, выполняя простые преобразования, находим:

$$\tilde{y}_s(x) = \left( \frac{\sum_{i=1}^s c_i^{-1} y_i \hat{O}\left(\frac{x-x_i}{c_i}\right)}{\sum_{i=1}^s c_i^{-1} \hat{O}\left(\frac{x-x_i}{c_i}\right)} \right) - \tilde{y}_{s-1}(x) + \tilde{y}_{s-1}(x)$$

и далее получим:

$$\tilde{y}_s(x) = \tilde{y}_{s-1}(x) - \alpha_s^{-1} c_s^{-1} (\tilde{y}_{s-1}(x) - \tilde{y}_s) \hat{O}\left(\frac{x-x_s}{c_s}\right), \quad (3)$$

$$\alpha_s = \alpha_{s-1} + c_s^{-1} \Phi\left(\frac{x-x_i}{c_s}\right), \alpha_0 = 0. \quad (4)$$

Таким образом, рекуррентная непараметрическая функция регрессии имеет форму (3), (4).

**Рассмотрим вычислительные эксперименты.**

Пусть истинная зависимость  $y = F(x)$  имеет вид  $y = 2 \sin x$ , где  $x \in [0, 3]$ . Далее используем эту зависимость для формирования обучающей выборки, искажая при этом  $y$  случайной 5%-ой помехой,  $y_i = y_i + \alpha y_i h_i$ , где  $\alpha = 0.05$ ,  $h_i \in [-1, 1]$ . В качестве

$\Phi((x - x_i)/c_i)$  используем треугольное ядро. Таким образом, получена следующая обучающая выборка  $(x_i, y_i, i = \overline{1, s})$ , где  $x_i \in [0, 3]$ . Параметр размытости для рекуррентной оценки функции регрессии  $c_i$  определяется по формуле:  $c_i = A/\sqrt[3]{i}$  или  $c_i = A/\sqrt[4]{i}$ , где  $i = 1, 2, \dots, 100$ ; и  $A$  любое число. Для обычной оценки регрессии примем  $c_s = 0.02$ . Для экспериментов возьмем объем выборки  $s = 100$ . В первом случае примем аргумент постоянным  $x = 2$ ,  $A = 1.6$  (рис.1). Из рисунка 1 видно, что непараметрическая оценка функции регрессии приближается к исходной функции, обычная оценка функции регрессии точно проходит по истинной функции.

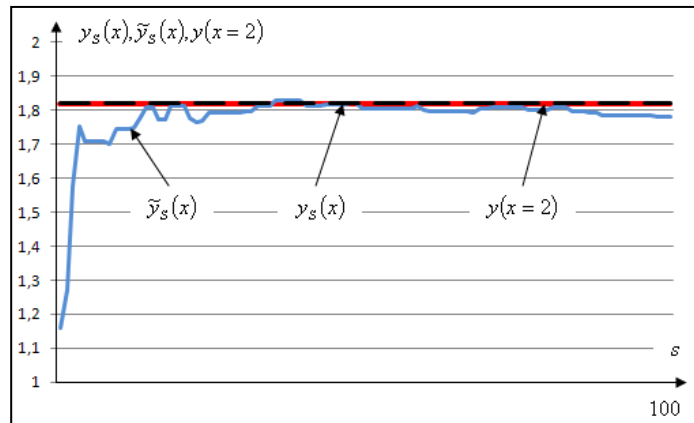


Рис. 1

Во втором случае аргумент  $x$  меняется по формуле:

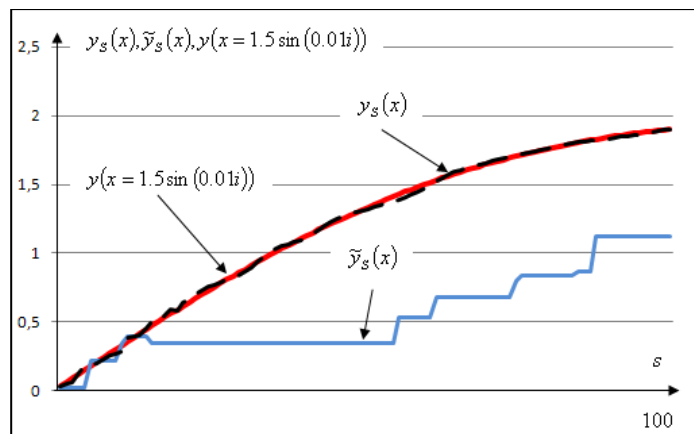


Рис. 3

$x_i = 1.5 \sin(0.01i)$ ,  $c_i = A/\sqrt[4]{i}$ ,  $A = 0.5$  (рис.2). Из рисунка 2 видно, что непараметрическая оценка функции регрессии медленно приближается к истинной функции, обычная оценка функции регрессии практически точно повторяет изменение функции. В третьем случае  $x_i, i = \overline{1, 100}$  принимает случайные значения из интервала  $[0, 3]$ ,  $c_i = A/\sqrt[4]{i}$ ,  $A = 0.5$  (рис.3). Из рисунка 3 видно, что

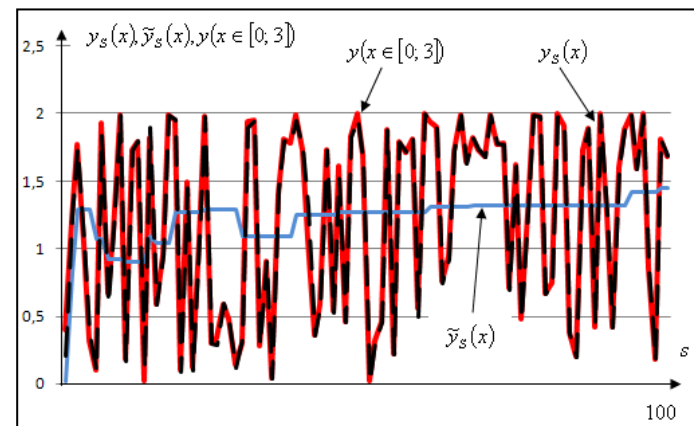


Рис. 2

использование непараметрической рекуррентной оценки функции регрессии приводит к неудовлетворительным результатам, обычная оценка функции регрессии показывает практически точные результаты.

**Выводы.** Численные исследования непараметрических рекуррентных оценок показали, что в случае, если  $x$  принять постоянным, то оценка приближается к истинному значению. Но при решении практических задач это редкий случай. Обычно  $x$  меняется по некоторой траектории или случайным образом. В этом случае применение рекуррентных оценок оказывается неэффективным.

**Непараметрическое управление безынерционными системами.** На рисунке 4 представлена схема управления процессом в случае, когда на вход объекта управления

действует неуправляемая, но контролируемая переменная  $\mu(t)$ . Такую переменную можно выявить практически для любого процесса, при детальном его изучении. В этом случае задача управления усложняется, поскольку необходимо выработать управляющее воздействие  $U(t)$  с учетом поведения переменной  $\mu(t)$  [3]. На рисунке 4 приняты следующие обозначения: А – неизвестный оператор объекта,  $U(t)$  – управляющее воздействие,  $x(t)$  – выходная переменная объекта,  $x^*(t)$  – задающее воздействие,  $\xi(t)$  – случайная помеха,  $H^x, H^U$  – блоки

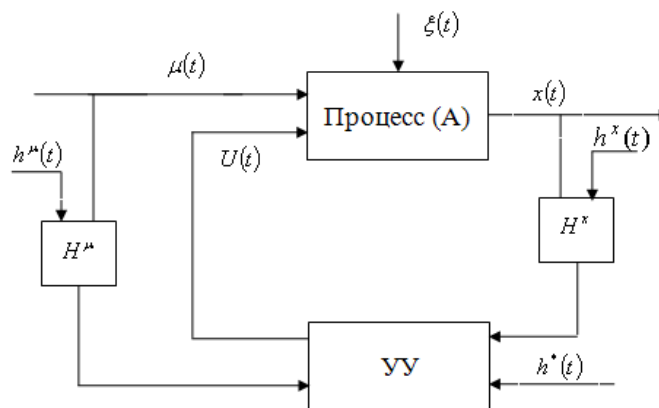


Рис. 4

контроля «входных-выходных» переменных,  $h^x, h^U$  – случайные помехи, действующие в каналах измерения. Рассмотрим алгоритм, реализующий управления данным процессом:

1. Генерируются выборки  $\mu_i, i = \overline{1, s}$  и  $x_i^*, i = \overline{1, s}$  по заданному исследователем закону. На вход объекта подается  $U_0$  (задается исследователем) и  $\mu_0$ . Рассчитывается  $x_0 = f(U_0, \mu_0)$ . На следующем такте поступает  $\mu_1$  и  $x_1^*$  ( $\mu_{s+1}$  и  $x_{s+1}^*$ ) и необходимо выработать управляющее воздействие  $U_{s+1}$  и рассчитать выход  $x_{s+1}$ .

2. Производится расчет коэффициента размытости ядра по переменной  $\mu(t)$ . Для этого рассчитываются  $\Delta\mu_i = |\mu_{s+1} - \mu_i|, i = \overline{1, s}$  и по этому показателю находится значение  $\mu_{\min}$  наиболее близкое к  $\mu_{s+1}$ . Коэффициент размытости ядра по переменной  $\mu(t)$  рассчитывается по формуле:  $cs^\mu = \alpha |\mu_{s+1} - \mu_{\min}|$ , где коэффициент  $\alpha > 1$ .

3. Из всей выборки объема  $s$  находятся точки, удовлетворяющие условию  $\frac{\mu_{s+1} - \mu_i}{cs^\mu} < 1$ , т.е. точки, попавшие под колокол переменной  $\mu(t)$ . Далее алгоритм работает только с этими точками. Обозначим их как  $(\mu'_i, U'_i, x'_i)$ .

4. Расчет коэффициента размытости ядра по переменной  $x(t)$ . Для этого рассчитываем величину  $\Delta x_i = |x_{s+1}^* - x'_i|, i = \overline{1, s}$  и по этому показателю находим значение  $x_{\min}$  наиболее близкое к  $x_{s+1}^*$ . Коэффициент размытости ядра по переменной  $x(t)$  рассчитывается по формуле:  $cs^x = \beta |x_{s+1}^* - x_{\min}|$ , где коэффициент  $\beta > 1$ .

5. Находится поисковый шаг  $\Delta U_{s+1} = \gamma (x_{s+1}^* - x_{\min})$ , где коэффициент  $\gamma < 1$ .

6. Рассчитывается управляющее воздействие  $U_{s+1}$  по формуле:

$$U_{s+1} = \frac{\sum_{i=1}^s U'_i \hat{\sigma} \left( \frac{x_{s+1}^* - x'_i}{cs^x} \right) \hat{\sigma} \left( \frac{\mu_{s+1} - \mu'_i}{cs^\mu} \right)}{\sum_{i=1}^s \hat{\sigma} \left( \frac{x_{s+1}^* - x'_i}{cs^x} \right) \hat{\sigma} \left( \frac{\mu_{s+1} - \mu'_i}{cs^\mu} \right)} + \Delta U_{s+1}. \quad (5)$$

7. Находится значение выхода:  $x_{S+1} = f(U_{S+1}, \mu_{S+1})$ . Алгоритм повторяется с пункта 2.

**Численное исследование.** В качестве зависимости выхода от входов примем уравнение вида:

$$x(t) = 2\sqrt{U(t)} + \mu(t). \quad (6)$$

Переменная  $\mu(t)$  описывается следующей зависимостью:

$$\mu(t) = \sin(0.015i). \quad (7)$$

Задание примем константе:

$$x^*(t) = 6. \quad \text{Параметры принимают следующие значения:}$$

$$\alpha = 2.8; \beta = 1.1; \gamma = 0.6; U_0 = 4.$$

Полученные результаты представлены на рисунке 5.

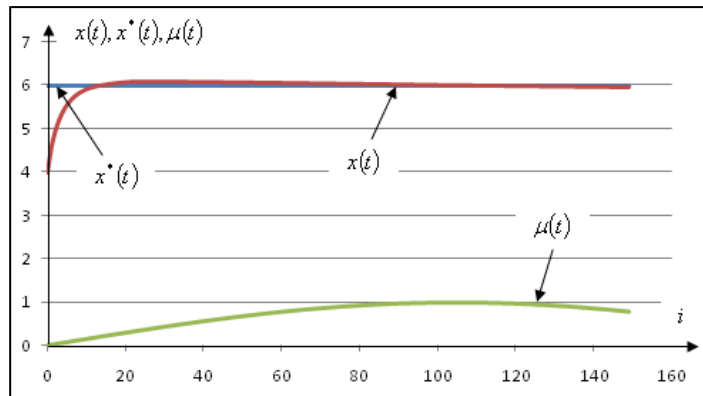


Рис. 5

Рассмотрим, как повлияет на работу алгоритма изменение величины коэффициента  $\gamma$  при поисковом шаге. Примем  $\gamma = 0.2$ . Результаты представлены на рисунке 6. Скорость настройки значительно уменьшилась. Если при  $\gamma = 0.6$  алгоритм приводил  $x(t)$  к области задания  $x^*(t)$  уже на 20 итерации, то при  $\gamma = 0.2$  это уже 100-я итерация. Увеличим значение  $\gamma = 0.9$ . Результаты приведены на рисунке 7.

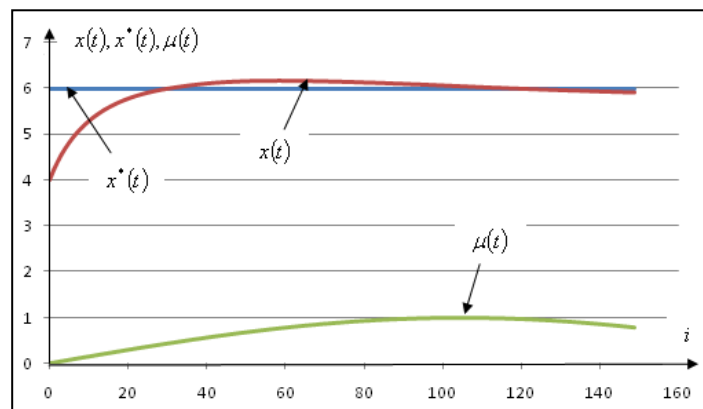


Рис. 6

**Выводы.** Численные исследования показали, что увеличение коэффициента  $\gamma$  при поисковом шаге увеличивает скорость настройки алгоритма.

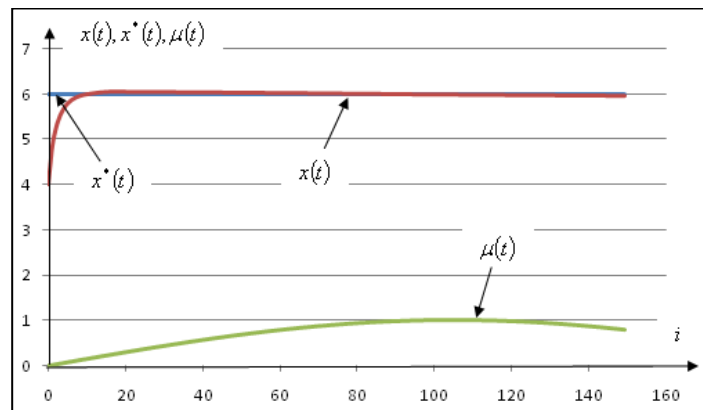


Рис. 7

Библиографические ссылки:

1. Надарая Э.А. Непараметрическое оценивание плотности вероятностей и кривой регрессии. – Тбилиси, издательство Тбилисского Университета, 1983. 194 с.
2. Медведев А.В. О рекуррентных непараметрических алгоритмах адаптации// Материалы XV-ой Международной конференции «Решетневские чтения»// Красноярск: изд-во СибГАУ, 2011. – с. 473-474.
3. Медведев А.В. Непараметрические системы адаптации. – Новосибирск: Наука, 1983.